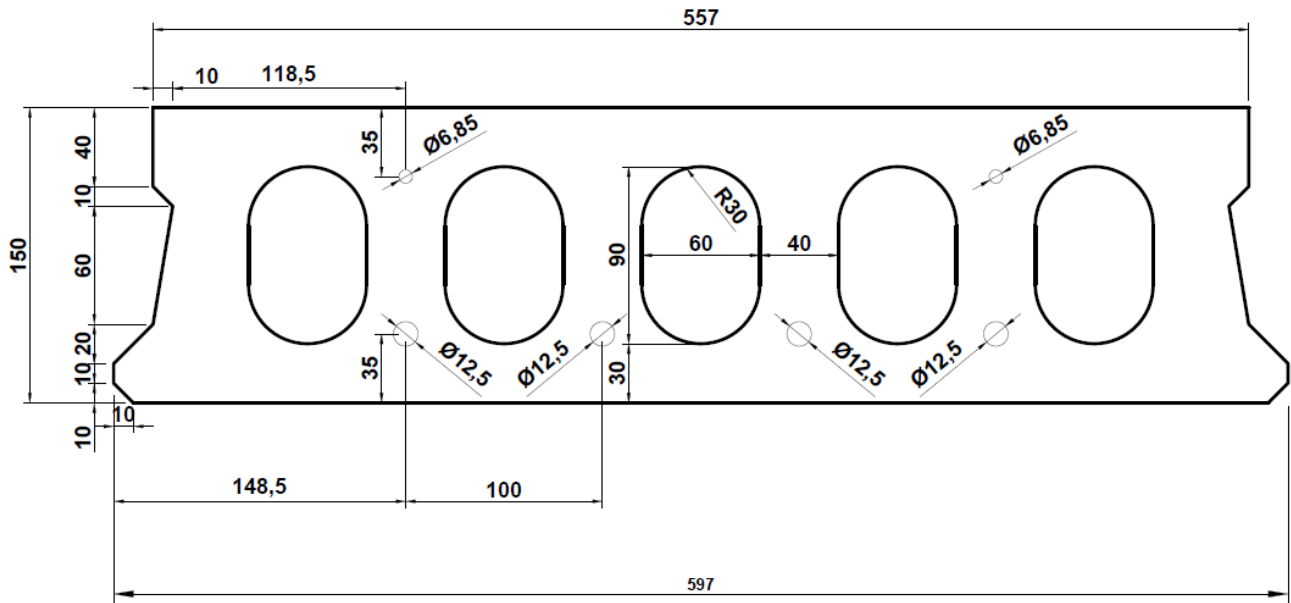


11.2.2.5 Panel SMART 15/60 kanały 60x90,zbr. 4 x \varnothing 12.5 mm dołem + 2x \varnothing 6.85 mm góra.



Po	Pt*	Pod	Pog	Δl	Mcr*	M'cr*	Mdek*	Mrd	M'rd	Mw0,2*	Vrd	Apd	Apg	q	f _{pk}
559,9	415,2	121,1	37,8	66,1	31,4	-7,6	24,1	48,7	-15,4	48,0	61,3	3,72	0,58	2,45	1860
[kN]	[kN]	[kN]	[kN]	[cm]	[kNm]	[kNm]	[kNm]	[kNm]	[kNm]	[kNm]	[kN]	[cm ²]	[cm ²]	[kN/m ²]	[MPa]

Dopuszczalne zewnętrzne obciążenie obliczeniowe dla wspornika

Wysięg [cm]	60	90	120	150	180
q'd [kN/m ²]	60	90	120	150	180

Długość płyty	Stan graniczny nośności	Stan graniczny użytkowości		
		SMART15/604 x ø12.5 + 2x ø6.85, kanały 60x90, REI 60		
I	P_d	P_{k2a}	P_{k2b}	P_{ka2b}
[cm]	[kN/m ²]	[kN/m ²]	[kN/m ²]	[kN/m ²]
k1	k2	K3	K4	K5
	$V_g \Delta g_k + V_q q_k$		2b (X0, XC1)	
			Zarysowania $\Delta g_k + q_k \cdot \psi_1$	Ugięcia $\Delta g_k + q_k \cdot [\psi_2 + (1 - \psi_2) / \beta]$
		2a (XC2, XC3, XC4)		
		Dekompresja: $\Delta g_k + q_k \cdot \psi_2$	Zarysowania $\Delta g_k + q_k \cdot \psi_1$	
240	81,9	52,7	107,8	96,4
270	72,4	41,1	84,7	71,2
300	64,8	32,9	68,2	54,3
330	56,4	26,8	56,0	42,5
360	46,8	22,1	46,7	34,0
390	39,4	18,5	39,4	27,6
420	33,5	15,7	33,7	22,7
450	28,8	13,3	29,1	18,9
480	24,9	11,5	25,3	15,8
510	21,7	9,9	22,1	13,4
540	19,0	8,6	19,5	11,4
570	16,7	7,5	17,3	9,8
600	14,7	6,5	15,4	8,4
630	13,1	5,7	13,7	7,1
660	11.6	5.0	12.3	6.0
690	10,3	4,4	11,1	5,1
720	9,2	3,8	10,0	4,3
750	8,2	3,3	9,0	3,7
780	7,4	2,9	8,2	3,1
810	6,6	2,5	7,4	2,7